



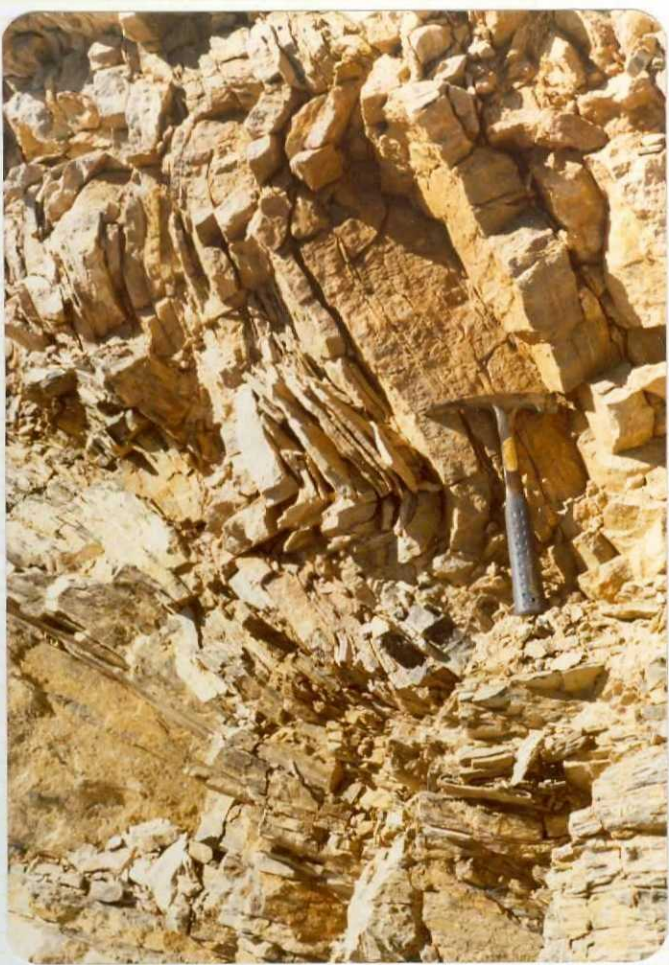
2042-IB-DF-3131

Vista General del Cerro del Trevenque y Alayos de Dilar desde el km 30.



2042-IB-DF-3132

Aspecto de detalle de un pliegue sinsedimentario en las calizas $T_{A_{2-3}C}$ del manto de Víboras, carretera al Veleta, km. 30
(dirección de ejes N40°E).



2042-IB-DF-3133

Aspecto de pliegues de dirección
de ejes N 5° E en calizas T_{A₂₋₃C}

tableadas del manto de Víboras,
(Km. 30 de la carretera al Vele-
ta).



2042-IB-DF-3134

Otro aspecto de los pliegues anteriores en sus proximidades



2042-IB-DF-3135

Curioso crecimiento de cristales de calcita bien formados a -
favor de una diaclasa paralela a la estratificación. Calizas
 $T_{A_{2-3}C}$ del manto de Víboras, (km 30 de la carretera al Veleta)

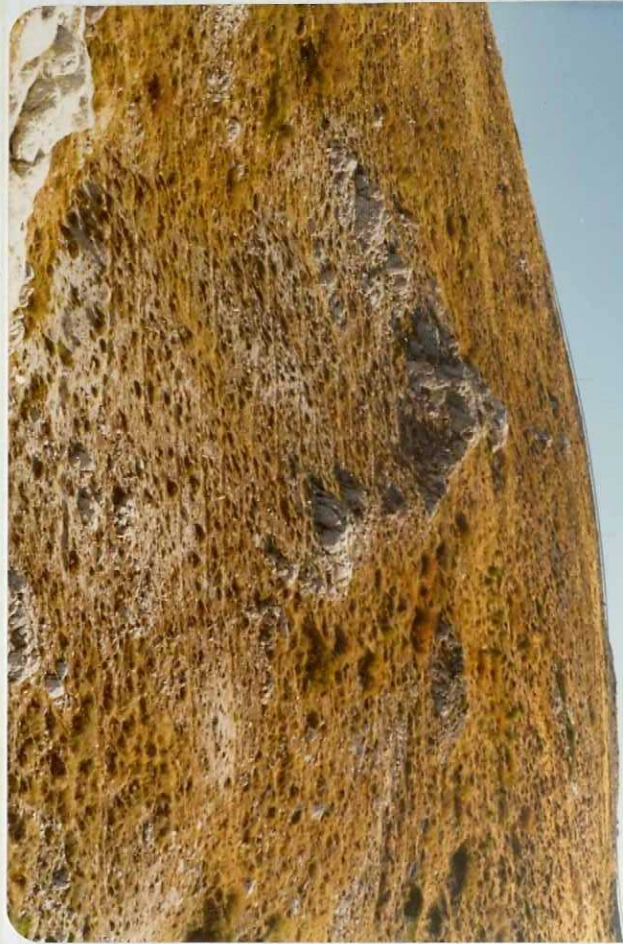


2042-IB-DF-3136

Aspecto de una intercalación de calcosquistos en el paquete carbonatado $T_{A_{2-3}C}$ del manto de Víboras. Se aprecian los re-

sultados del comportamiento diferencial de esta litología en relación con las calizas masivas vecinas, (km 29'5 de la carretera Granada-Veleta).

2042-IB-DF-3137
Vista parcial de la falla inversa del Dornajo (km 27'5 de la
carretera al Veleta) que monta el manto de Víboras sobre el
de Trevenque.





2042-IB-DF-3138

Sinclinal de dirección N 125° E en la formación carbonatada -
 $(T_{A_{2-3}}C^2, T_{A_{2-3}}\Delta)$ del manto de Trevenque (carretera particu-
lar de la Sierra al Cortijo de S. Jerónimo).



2042-IB-DF-3139

Vista parcial del afloramiento de Neógeno de El Purche, sobre micaesquistos con granate-estaurolita del manto de Fuente Piedra; estos reposan a su vez sobre dolomías kakiríticas T_{A2-3}^{Δ}

del manto de Trevenque. Al fondo a la izquierda, las calizas $T_{A2-3}^{\Delta}C$ masivas del manto de Víboras.



2042-IB-DF-3140

Detalle que muestra la buena estratificación que presentan las rocas carbonatadas $T_{A_{2-3}C}$ del manto de Víboras (km 23'3 de la carretera Granada-Veleta).



2042-IB-DF-3141

Intercalación de cuarcitas amarillas y filitas violáceas - -
T-P_{A₁} fT plegadas según direcciones de ejes N 40° E en la for-

mación carbonatada T_A²⁻³C_C del manto de Víboras, (km 22 de la
carretera Granada-Veléta).



2042-IB-DF-3142

Vista general de la explotación de fluorita estratiforme intercalada en la formación carbonatada $T_{A_{2-3}C}$ del manto de Víboras (km 20'5 de la carretera Granada-Veleta.



2042-IB-DF-3143

Algunos ejemplares de la fluorita explotada en el yacimiento de la foto anterior. El bello color violeta se debe a ligeras impurezas de Samario (detectado por fluorescencia de Rayos X)



2042-IB-DF-3144

Perspectiva de la intercalación filítica T-P_{A₁} fT en el seno
de la formación carbonatada T_{A₂₋₃C} del manto de Víboras que

se corta en el km 18 de la carretera al Veleta. Se aprecia -
la mejor colonización de estas rocas detríticas por la vege-
tación.



2042-IB-DF-3145

Pliegues de dirección de ejes N 5° E en las calizas masivas
y tableadas con ligeras intercalaciones detríticas T_{A₂₋₃C}--
del manto de Víboras (km 17 de la carretera al Veleta).



2042-IB-DF-3146

Un aspecto de conjunto de las dolomías brechoides $T_{A_{2-3}\Delta}$ -
(kakiritas) del manto de Trevenque a la altura del km 16'6 -
de la carretera al Veleta.



2042-IB-DF-3147

Desde el mismo punto anterior, vista de conjunto del isleo de micaesquistos CAHGVCE con almandino-estaurolita del manto de Fuente Piedra del km 16. Sobre ellos descansa, en clara discordancia angular, el Neógeno.



2042-IB-DF-3148

Dos sistemas de estriás en la superficie NE de contacto del
isleo de la foto anterior: el bolígrafo materializa las co
rrespondientes a la dirección N 80° E.



2042-IB-DF-3161

Detalle de la superposición de los materiales alpujárrides a la derecha de la foto sobre los materiales nevado-filábrides. Hacia el centro de la foto se distingue el pico - Trevenque.



2042-IB-DF-3162

En primer término, micasquistos (ξdk) de la unidad de San Francisco sobre los micasquitos oscuros (CA.H(PC) ξ vpdb) grafitosos del manto del Veleta, que forman el resalte.



2042-IB-DF-3164

Afloramiento de anfibolitas (ξA) de la unidad de la Caldera.



2042-IB-DF-3165

Pliegues de micasquistos y filoncillos de -
cuarzo de la unidad de la Caldera.



2042-IB-DF-3170

Afloramiento de niveles delgados de mármoles ($T \Delta M_G$) que alternan con micasquistos - feldespáticos ($P-T_{Al\zeta ph}$) de la unidad de la Caldera.



2042-IB-DF-3172

Afloramiento de metacineritas (Kt) de la --
formación de Mármoles conglomeráticos y me-
tacineritas.



2042-IB-DF-3173

Afloramiento de gneises (ξ_m^A) de la unidad -
de las Sabinas.



2042-IB-DF-3174

Vista a menor escala del anterior afloramiento.

2042-IB-DF-3176
Afloramiento de mármoles ($T \Delta M$) de la unidad de las Sabinas.





2042-IB-DF-3177

Afloramiento de serpentinita (Σ) de la unidad de las Sabinas.



2042-IB-DF-3178

Vista del Collado de las Sabinas (a la derecha de la foto) donde se superponen los alpujárrides, a los materiales de las Sabinas del primer término.